

Émergence de phénomènes collectifs en dynamique des populations

Suite des outils d'étude qualitative des EDOs

↳ Principe de comparaison

DÉF (sur/sous solutions) : Supposons que $N=1$.

- On dit que $\underline{X} \in \mathcal{C}^1(\underline{0}, \underline{T})$ est une sous-solution de l'EDO (2) si

$$\frac{d}{dt} \underline{X}(t) \leq f(X(t)) \quad \forall t \in (\underline{0}, \underline{T})$$

- On dit que $\bar{X} \in \mathcal{C}^1(\underline{0}, \bar{T})$ est une sur-solution de l'EDO (2) si

$$\frac{d}{dt} \bar{X}(t) \geq f(X(t)) \quad \forall t \in (\underline{0}, \bar{T})$$

↳ Rq: Une solution est à la fois sur- et sous-solution (c'est même équivalent!)

- On peut qualifier les sur- et sous-solutions de "STRICTES" si on a des inégalités strictes.

PROPO (Principe de comparaison EDO) Supposons $N=1$, f localement

Lipschitzienne, alors $\forall \underline{X} \in \mathcal{C}^1(\underline{0}, \underline{T})$ et $\bar{X} \in \mathcal{C}^1(\underline{0}, \bar{T})$,

$$\left[\begin{array}{l} \underline{X} \text{ sous-sol de (2)} \\ \bar{X} \text{ sur-sol de (2)} \\ \underline{X}(0) \leq \bar{X}(0) \end{array} \right] \Rightarrow \left[\underline{X}(t) \leq \bar{X}(t), \quad \forall t \in (\underline{0}, \min(\underline{T}, \bar{T})) \right]$$

$$\left[\begin{array}{l} \underline{x} \text{ sous-sol de (2)} \\ \bar{x} \text{ sur-sol de (2)} \\ \underline{x}(0) < \bar{x}(0) \end{array} \right] \Rightarrow \left[\underline{x}(t) < \bar{x}(t), \quad \forall t \in (0, \min(I, \bar{T})) \right]$$

$$\left[\begin{array}{l} \underline{x} \text{ sous-sol STRICTE de (2)} \\ \bar{x} \text{ sur-sol STRICTE de (2)} \\ \underline{x}(0) \leq \bar{x}(0) \end{array} \right] \Rightarrow \left[\underline{x}(t) < \bar{x}(t), \quad \forall t \in (0, \min(I, \bar{T})) \right]$$

ou seulement
l'un des deux...

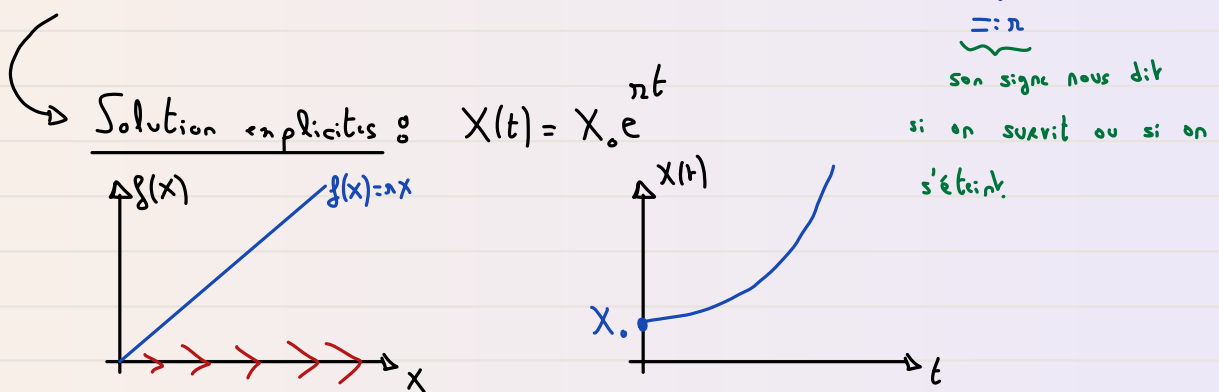
↳ Exemple / Exercice: En utilisant le fait que $\log(1+x) < x \quad \forall x > 0$, montrer que les solutions positives de $\dot{x} = \log(1+x)$ sont globales.

3) BESTIAIRE D'EDO SCALAIRES (ie N=1 (1 seule espèce))

a) Le modèle de MALTHUS (1798)

↳ Le plus simple: Croissance linéaire de la population

$$\dot{x} = n x \quad (\stackrel{\text{EN FAIT}}{=} \text{birth} \times x - \text{death} \times x = (\text{birth} - \text{death})x)$$



↳ Inconvénient: Devient TRÈS GRAND, TRÈS VITE....

b) Modèle de VERHULST (1838) (Logistique)

Il faut prendre en compte la compétition intraspécifique

pour l'espace et/ou les ressources!

ie entre individus de la même espèce...

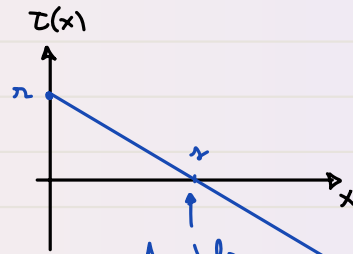
↳ Pour ça, une quantité d'intérêt :

$$\tau_g(x) = \frac{g(x)}{x} \quad \text{le taux de croissance individuel}$$

- Pour Malthus, $\tau_{\text{MALTHUS}}(x) = n$ indépendant de la taille de la population.

- Pour tenir compte de la compétition, il faut que $\tau_g \rightarrow 0$ lorsque la taille de la pop \uparrow .

$\tau_{\text{VERHULST}}(x) = n(1-x) =$



Av-déla
de cette densité
le taux de croissance
devient négatif \rightarrow Trop de pop = ↑

Croissance associée :

$$\dot{x} = n x (1-x) = \underbrace{n x}_{\text{croissance intrinsèque}} - \underbrace{n x^2}_{\text{terme de compétition}}$$

Voir aussi $\dot{x} = n x (1 - \frac{x}{K})$

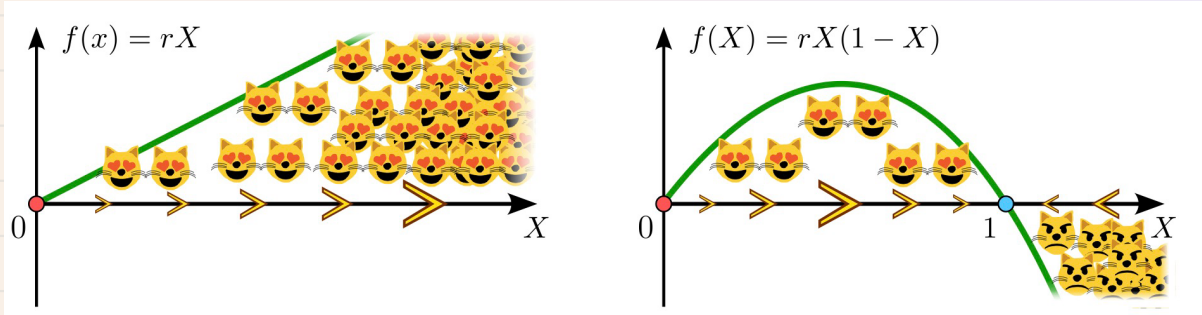
↳ K : capacité d'accueil
capacité de charge
carrying capacity

(c'est la densité de saturation)
(K = t pour faire des maths)

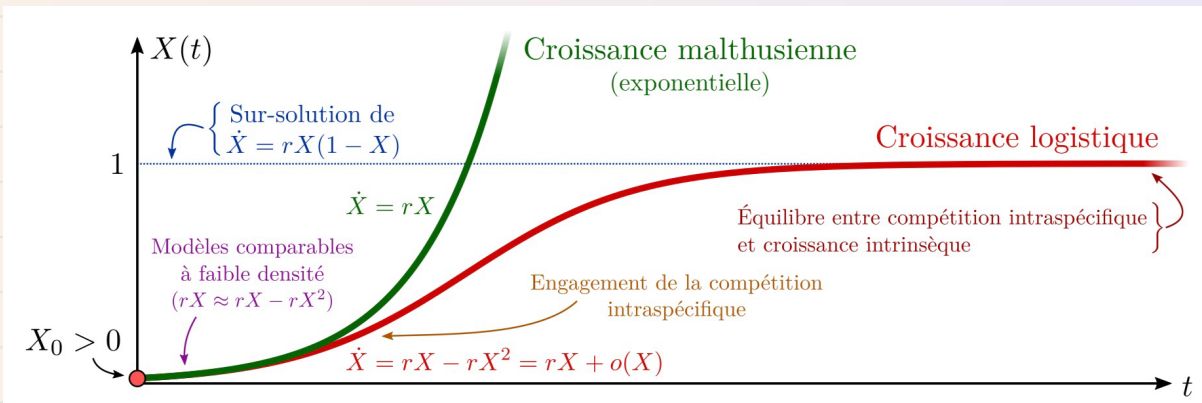
Le modèle est non-linéaire.

- ↳ Équilibres :
- 0 (linéairement instable)
 - 1 (linéairement stable)

Lignes de phase :



Trajectoires :



Résolution explicite pour séparation des variables :

$$\int_{s=0}^t \frac{\dot{X}}{X(1-X)} ds = t$$

On cherche une primitive de $X \mapsto \frac{1}{X(1-X)}$

↳ Décomposition en clair simplifiée

$$\begin{aligned} \frac{1}{X(1-X)} &= \frac{a}{X} + \frac{b}{1-X} = \frac{a(1-X) + bX}{X(1-X)} \\ &= \frac{1}{X(1-X)} \quad \text{si } \begin{cases} a=1 \\ b=-a \end{cases} \end{aligned}$$

$$\hookrightarrow \frac{d}{dx} (\log |X| - \log |1-X|) = \frac{1}{X(1-X)} \quad \text{ok}$$

$$\hookrightarrow = \int_{s=0}^t (\log |X(s)| - \log |1-X(s)|)' ds = t$$

$$\log |X(t)| - \log |1-X(t)| = t + \log |X_0| - \log |1-X_0|$$

$$\log \left| \frac{X(r)}{1-X(r)} \right| = t + \log \left| \frac{X_0}{1-X_0} \right|$$

$$\frac{X(r)}{1-X(r)} = \left| \frac{X_0}{1-X_0} \right| e^t$$

$$X(r) = \left| \frac{X_0}{1-X_0} \right| e^t (1-X(r))$$

$$\left(1 + e^t \left| \frac{X_0}{1-X_0} \right| \right) X(r) = \left| \frac{X_0}{1-X_0} \right| e^t$$

$$X(r) = \frac{\left| \frac{X_0}{1-X_0} \right| e^t}{1 + \left| \frac{X_0}{1-X_0} \right| e^t} = \frac{C e^t}{1 + C e^t} \xrightarrow[t \rightarrow \infty]{} 1.$$

ok...

↳ Modèles à Effet Allee (zoologiste américain) (1931)

↳ pénalisation de croissance à faible densité

↳ brassage génétique insuffisant ⇒ baisse fertilité

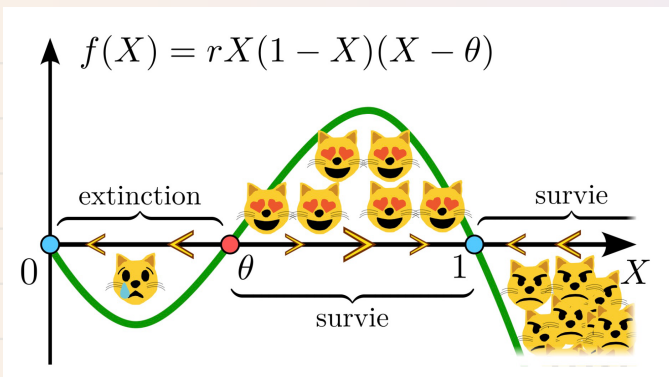
↳ difficulté à trouver un partenaire

↳ Vulnérabilité des individus isolés face aux prédateurs

↳ Efficacité de la chasse en groupe ↗...

c) Le modèle bistable

$$\ddot{X} = r X (1-X) (X-\Theta) \rightarrow 3 \text{ équilibres: } \begin{cases} 0 (\text{STABLE}) \\ 1 (\text{STABLE}) \\ \Theta (\text{INSTABLE}) \end{cases} \left. \begin{array}{l} \text{Bi STABLE} \\ \text{Bi STABLE} \end{array} \right\}$$



$$[0 < X_* < \theta] \Leftrightarrow [X(r) > 0]$$

$$[\theta < X_*] \Leftrightarrow [X(r) \rightarrow 1]$$

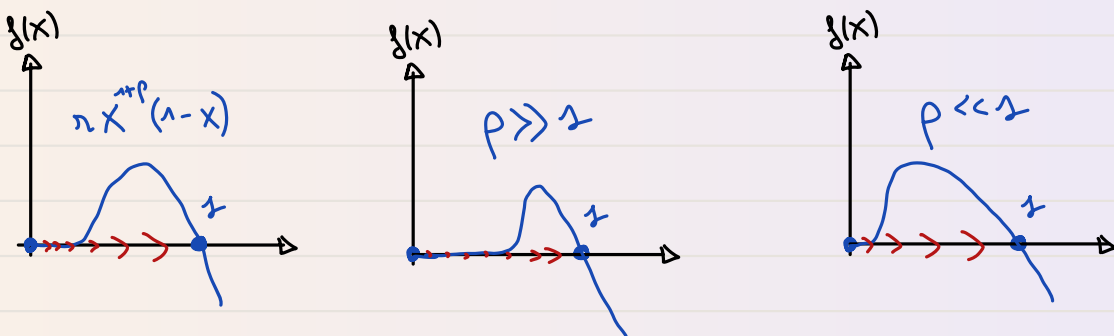
↳ Effet Allée Fort (TRÈS MÉCHANT) : on meurt d'isolement

d) Le modèle monostable dégénéré

↳ Effet Allée Faible (moins méchant) : on croît moins fort quand on est isolé...

$$\dot{X} = \pi X^{\alpha+\beta}(1-X)$$

↳ 2 équilibres : γ : STABLE
 0 : INSTABLE (mais pas linéairement!)
 ↳ on dit que l'équilibre est dégénéré



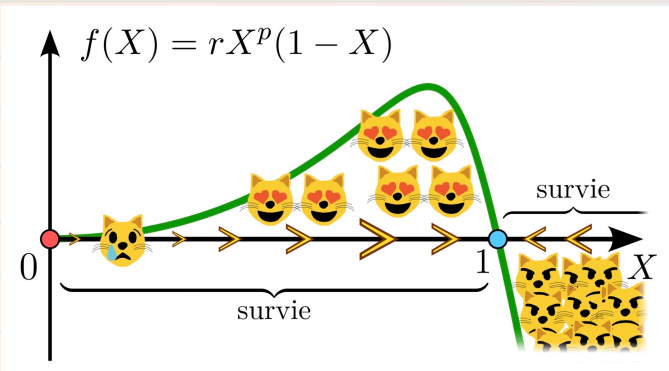
$$\Leftrightarrow [\rho = 0] \Leftrightarrow [f(X) = \pi X(1-X) \text{ (logistique)}]$$

↳ ρ : intensité de l'effet Allée

↳ Quoi qu'il arrive, on a toujours invasion : $[X_0 > 0] \Leftrightarrow [X(t) \xrightarrow{t \rightarrow \infty} 1]$

(même si ça peut prendre longtemps...)

↳ Note pour plus tard: pour $\mu_t = \Delta u + rX^p(1-u)$ l'invasion n'est plus systématique si r est grand contrairement à l'EDO... (i.e. Laplacien "stabilise" le trivial...)



4) OUTILS D'ANALYSE EN DIMENSION $N > 1$

↳ En dimension supérieure ($N > 1$), l'EDO scalaire $\dot{X} = \alpha X$ devient

$$(6) \quad \dot{X} = \Delta X \quad \text{avec } \Delta \text{ une matrice carrée.}$$

$$\text{ex: } \left[\begin{matrix} \dot{x}_1 & = & \begin{pmatrix} 1 & 2 \\ 0 & -1 \end{pmatrix} x_1 \\ \dot{x}_2 & = & \begin{pmatrix} 0 & 1 \\ 1 & 0 \end{pmatrix} x_2 \end{matrix} \right] \Leftrightarrow \left[\begin{matrix} x_1 = \begin{pmatrix} x_1 \\ x_2 \end{pmatrix} \\ x_2 = \begin{pmatrix} x_2 \\ x_1 \end{pmatrix} \end{matrix} \right] \text{ et } \left\{ \begin{array}{l} \dot{x}_1 = x_1 + 2x_2 \\ \dot{x}_2 = x_2 \end{array} \right.$$

↳ Lorsque $X \in \mathbb{R}^n$, $\dot{X} = \alpha X \Leftrightarrow X(t) = X_0 e^{\alpha t} = e^{\alpha t} X$.

↳ Cela se généralise en dimension $N > 1$: $\left[\begin{matrix} \dot{X} = \Delta X \end{matrix} \right] \Leftrightarrow \left[\begin{matrix} X(t) = e^{t\Delta} X \end{matrix} \right]$

$$\text{où } e^{t\Delta} \text{ est l'exponentielle matricielle de } t\Delta: \quad e^{t\Delta} = \sum_{n=0}^{\infty} \frac{(t\Delta)^n}{n!}$$

et possède quelques propriétés sympathiques, notamment

$$\left[\Delta = P \underbrace{J}_{P^{-1}} P^{-1} \right] \Leftrightarrow \left[e^{t\Delta} = P e^{tJ} P^{-1} \right]$$

Toute matrice $\Delta \in \mathbb{M}_n(\mathbb{R})$
est semblable à une matrice
de Jordan...

$$\text{↳ Aussi } e^{t \text{diag}(\lambda_i)} = \text{diag}\left(e^{t\lambda_i}\right)$$

Donc $X(t) = P e^{t\tilde{\tau}} \tilde{P}^{-1} X_0$, quitte à changer de base, il

suffit de comprendre $e^{t\tilde{\tau}}$ où $\tilde{\tau}$ est une matrice de Jordan (c'est relativement essentiellement issue d'un processus de diagonalisation...)

CE QU'IL FAUT RETENIR

- Ce sont les valeurs propres de A qui dictent la stabilité au voisinage de 0.

La géométrie plus complète induite par $N > 2$ fait émerger un grand nombre de comportements différents par rapport à la dimension 2 !

Juste en passant de $N=2$ à $N=3$:

Théorème 2.10 (Jordan)

Soit $A \in \mathcal{M}_N(\mathbb{C})$, alors il existe une matrice de passage $P \in \text{GL}_N(\mathbb{C})$ telle que la matrice triangulaire définie par blocs

$$T = \text{diag}(D_1, \dots, D_L, J_1, \dots, J_K)$$

est semblable à A par le changement de base P , i.e. $T = PAP^{-1}$

- $L, K \in \mathbb{N}$
- pour tout $i \in [1; L]$ il existe $\mu_i \in \mathbb{C}$ et $m_i \in [1; N]$ tels que $D_i = \mu_i \cdot I_{m_i} \in \mathcal{M}_{m_i}(\mathbb{C})$
- pour tout $j \in [1; K]$ il existe $\lambda_j \in \mathbb{C}$ et $n_j \in [1; N]$ tels que $J_j = J_{n_j}(\lambda_j) \in \mathcal{M}_{n_j}(\mathbb{C})$

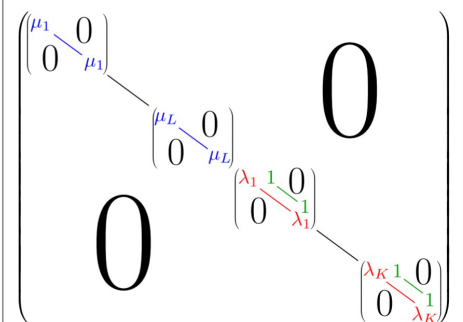


FIGURE 1 : REPRÉSENTATION DE LA MATRICE T .

a. $L = 0$ signifie qu'il n'y a pas de bloc D_i ; de même, $K = 0$ signifie qu'il n'y a pas de bloc J_i .

Annexe 1 : portraits de phases de $\dot{x} = Ax$ dans \mathbb{R}^2

Affixes des valeurs propres λ (●) et μ (●)	Dim. des sep.	Expression des solutions $x(t)$	Allure du portrait de phases	Sens de parcours des solutions	Signe de $\det(A)$	Signe de $\text{Tr}(A)$
●, ●	(1, 1)	$B e^{t\lambda} V_\lambda + C e^{t\mu} V_\mu$		Origine : noeud répulsif En $-\infty$, $x(t) = 0$; tangente : D_λ En $+\infty$, asymptote : V_μ	+	+
●, ●	(1, 1)	$B e^{t\lambda} V_\lambda + C e^{t\mu} V_\mu$		Origine : noeud attractif En $-\infty$, asymptote : V_μ En $+\infty$, $x(t) = 0$; tangente : D_λ	+	-
●, ●	(1, 1)	$B e^{t\lambda} V_\lambda + C V_\mu$		D_μ : noeuds répulsifs En $-\infty$, $x(t) = 0$	0	+
●, ●	(1, 1)	$B e^{t\lambda} V_\lambda + C V_\mu$		D_μ : noeuds attractifs En $+\infty$, $x(t) = 0$	0	-
●, ●	(1, 1)	$B e^{t\lambda} V_\lambda + C e^{t\mu} V_\mu$		En $-\infty$, asymptote : D_λ En $+\infty$, asymptote : D_μ	-	?
●	(1)	$(B + tC) V_\lambda + C \cdot V$		Sens de V_λ dans le demi-plan de V Sens de $-V_\lambda$ dans le demi-plan de $-V$	0	0
●	(2)	$B \cdot c_1 + C \cdot c_2$ solution constante car $A = 0$		RAS.	0	0
●	(1)	$(B + tC) e^{t\lambda} V_\lambda + C e^{t\lambda} V$		Origine : noeud répulsif En $-\infty$, $x(t) = 0$; tangente : D_λ En $+\infty$, asymptote : V_λ	+	+
●	(1)	$(B + tC) e^{t\lambda} V_\lambda + C e^{t\lambda} V$		Origine : noeud attractif En $-\infty$, asymptote : V_λ En $+\infty$, $x(t) = 0$; tangente : D_λ	+	-
●	(2)	$e^{t\lambda} \begin{pmatrix} B \\ C \end{pmatrix}$		Origine : noeud répulsif En $-\infty$, $x(t) = 0$	+	+
●	(2)	$e^{t\lambda} \begin{pmatrix} B \\ C \end{pmatrix}$		Origine : noeud attractif En $+\infty$, $x(t) = 0$	+	-
●	(1, 1)	$e^{t\alpha} \cdot \mathcal{R}_{t\beta} \cdot x_0$ dans la base (U_λ, W_λ)		Origine : noeud répulsif	+	+
●	(1, 1)	$e^{t\alpha} \cdot \mathcal{R}_{t\beta} \cdot x_0$ dans la base (U_λ, W_λ)		Origine : noeud attractif	+	-
●	(1, 1)	$\mathcal{R}_{t\beta} \cdot x_0$ dans la base (U_λ, W_λ)		Le sens de rotation dépend de la base (U_λ, W_λ)	+	0

TH (de linéarisation d' Hartman- Grobman): Supposons $f \in C^2(\mathbb{R}^n)$, X_E un équilibre de l'E.D.O

$\dot{x} = f(x)$, en notant $J_f = \nabla f(X_E) \in M_n(\mathbb{R})$ (la matrice jacobienne de f

évaluée au point X_E), alors, si $\underbrace{\text{Spec}(J) \cap i\mathbb{R}}_{\text{de } X_E \text{ est hyperbolique}} = \emptyset$,

$$\left[\max_{\lambda \in \text{Spec}(J)} \{ \Re(\lambda) \} < 0 \right] \Leftrightarrow \left[X_E \text{ asymptotiquement stable} \right]$$

Loie. toutes les vp sont $\Re c < 0$

$$\left[\min_{\lambda \in \text{Spec}(J)} \{ \Re(\lambda) \} > 0 \right] \Leftrightarrow \left[X_E \text{ INSTABLE} \right]$$

Loie. il y a au moins une vp $\Re c > 0$

↳ Un autre outil (TRÈS PUSSANT) des intégrales premières

DÉF (Intégrale première) Soit $N \in \mathbb{N}^*$. Une intégrale première pour l'E.D.O $\dot{x} = f(x)$

est une fonction $I : \mathbb{R}^N \rightarrow \mathbb{R}$ telle que I reste constante le long des trajectoires du système, c'est-à-dire que pour tout solution $X = X(t)$ de l'E.D.O, on a

$$\frac{d(I \circ X)}{dt}(t) = 0 \quad \forall t \in (0, \tau) \quad (6)$$

↳ Remarques:

- La connaissance d'une intégrale première est une information TRÈS précieuse puisque les trajectoires du système sont ses lignes de niveaux, i.e. les ensembles de la forme

$$L_c := \{ X \in \mathbb{R}^N \mid I(X) = c \}, \text{ où } c \in \mathbb{R} \text{ est une cst.}$$

↳ Un exemple facile: $\dot{x} = \begin{pmatrix} 0 & -1 \\ 1 & 0 \end{pmatrix} x$

matrice de rotation d'angle $\frac{\pi}{2}$...

La linéaire

La Équilibre: $0 \begin{pmatrix} 0 & -1 \\ 1 & 0 \end{pmatrix} \dots$

$$\text{Posons } I(X) = I(n, y) = n^2 + y^2$$

$$\text{Alors } (I \circ X)(t) = n^2(t) + y^2(t)$$

$$\frac{d}{dt}(I \circ X)(t) = 2\overset{\circ}{n}(t)n(t) + 2\overset{\circ}{y}(t)y(t)$$

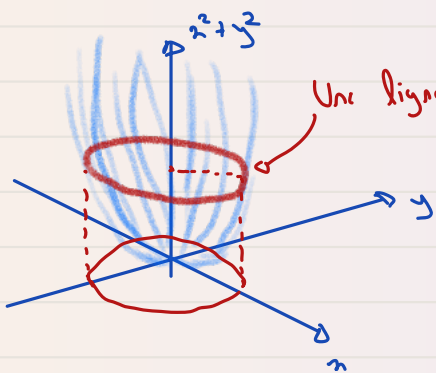
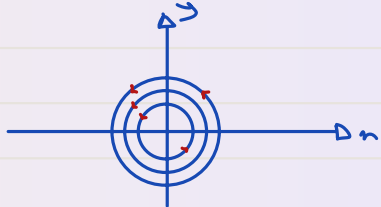
$$\text{or } \overset{\circ}{n} = -y \text{ et } \overset{\circ}{y} = n \text{ donc}$$

$$\frac{d}{dt}(I \circ X)(t) = -2y(t)n(t) + 2n(t)y(t) = 0$$

Donc I est une intégrale première de l'EDO : les traj. sont données par

$$n^2(t) + y^2(t) = c \quad \text{avec } c \in \mathbb{R}$$

Conclusion: Les trajectoires sont des cercles!



Une ligne de niveau ou sa projection sur le plan $z=0$...

- Les intégrales premières ne sont réellement utiles qu'en dimension $N > 2$...
- Les fonctions constantes sont des intégrales premières triviales.

- En dimension $N=2$, (6) se dérive en utilisant la règle de la chaîne:

$$\forall t \in (0, T), \quad \partial_n I(n(t), y(t)) \times \dot{n}(t) + \partial_y I(n(t), y(t)) \times \dot{y}(t) = 0$$

- En général, trouver une intégrale première est non trivial et nécessite plus de l'astuce que de la simple routine (intuition physique, énergie conservée, etc...)

4) EXEMPLES D'EDO VECTORIELLES (à plusieurs popula)

↳ Dans cette section, on prend $N=2$ (2 populations qui interagissent)

a) Le modèle préy-prédateur de Lotka-Volterra (1925-1926)

↳ Notons à l'instant $t \geq 0$:

- $n(t)$ la taille d'une population de proies ;
- $\gamma(t)$ la taille d'une population de prédateurs.

↳ $n_1 > 0$: Taux de croissance des proies

$n_2 > 0$: Taux de décroissance des prédateurs

$$\begin{cases} \dot{n} = n_1 n & t \geq 0 \\ \dot{\gamma} = -n_2 \gamma & t \geq 0. \end{cases}$$

↳ Pour le moment, ce sont 2 EDO découplés (pas d'interactions)

$$\dot{n}(t) = n_1 e^{n_1 t} \rightarrow +\infty \text{ (explosion des proies)}$$

$$\dot{\gamma}(t) = -n_2 e^{-n_2 t} \rightarrow 0 \text{ (disparition des prédateurs)}$$

↳ Ajout d'un terme de prédation de γ sur n

↳ Pour la logistique ($\dot{n} = n n(1-n)$), on avait le terme de compétition

$$-\dot{n} n = -\overbrace{n n}^2 \times n$$

↳ Le taux de décroissance étais négativement proportionnel à la taille de la population (+ de pop \Rightarrow + de mort)

↳ Ici on fait pareil dans l'éq des préies:

$$\dot{n} = n_1 n - \alpha y n$$

$\alpha > 0$: le coef de prédation de $y \rightarrow y$ en n

↳ La biomasse retirée de n est alors réinjectée dans l'éq des y (avec un coefficient $\beta > 0$ de capacité des prédateurs)

à conversion des préies en descendance...):

$$\dot{y} = -n_2 y + \beta y n$$

↳ Au final, on obtient le système prisé population suivant:

$$(7) \quad \begin{cases} \dot{n} = n_1 n - \alpha y n = n(n_1 - \alpha y) & t \geq 0 \\ \dot{y} = -n_2 y + \beta y n = y(\beta n - n_2) & t \geq 0 \end{cases}$$

↳ Noter que $(n_0 e^{n_1 t}, 0)$ et $(0, y_0 e^{-n_2 t})$ sont deux solutions bornées dont les traj initierées dans le quadrant Nord-Est se restrent forever...

• Construction du plan de phases

↳ Les équilibres: $\dot{n} = 0 \Leftrightarrow n = 0$ ou $n = \frac{n_1}{\alpha}$

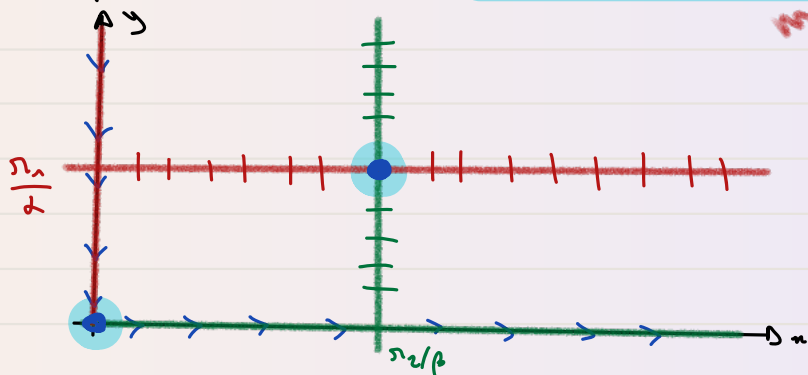


$$\dot{y} = 0 \Leftrightarrow y = 0 \text{ ou } n = \frac{n_2}{\beta}$$

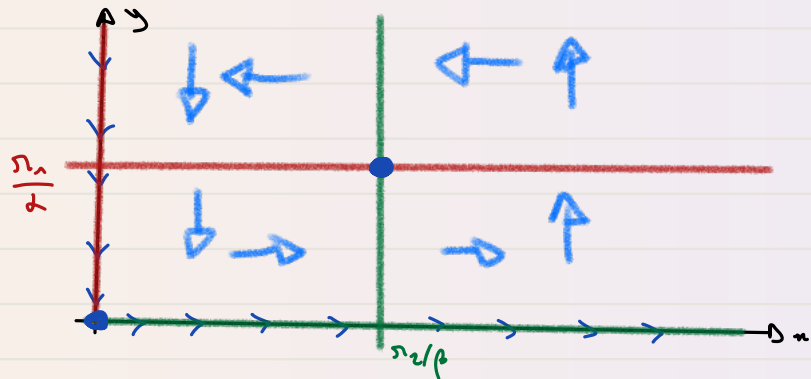


équation des isoclines

↳ Les équilibres sont aux intersections des isoclines



↳ Dans chaque secteur défini par les isoclines, n et y sont monotones.



↳ On a compris que ça tourne...

$$[n \gg 1] \Rightarrow [y \nearrow] \Rightarrow [y \gg 1] \Rightarrow [n \nearrow] \Rightarrow [n \ll 1]$$

↗ $[n \nearrow]$ ↘ $[y \ll 1]$ ↘ $[y \searrow]$

↳ STABILITÉ DES ÉQUILIBRES ?

$$\underbrace{\nabla f(n, y)}_{\text{Matric.}} = \begin{pmatrix} n - \alpha y & -\alpha n \\ \beta y & -n_2 + \beta n \end{pmatrix}$$

Jacobien

$$A = \nabla f(0, 0) = \begin{pmatrix} n_1 & 0 \\ 0 & -n_2 \end{pmatrix}$$

VALEURS PROPRES $(0, 0)$ est instable

$$B = \nabla f\left(\frac{n_2}{\beta}, \frac{n_1}{\alpha}\right) = \begin{pmatrix} 0 & -\frac{n_2 \alpha}{\beta} \\ \frac{n_1 \beta}{\alpha} & 0 \end{pmatrix} \quad (\text{type matrice rotation...})$$

$$\chi(\lambda) = \lambda^2 + n_1 n_2$$

$$\text{Spéc}(B) = \left\{ \pm i\sqrt{n_1 n_2} \right\}$$

↳ $\left(\frac{n_2}{\beta}, \frac{n_1}{\alpha}\right)$: non hyperbolique : pas de conclusion possible...

↳ On s'en sort avec une intégrale première:

↳ Ideas: Regarder le ratio de variation

$$\frac{\overset{\circ}{y}}{n} = \frac{y(-\alpha_2 + \beta n)}{n(n - \alpha y)}$$

Separer les variables

$$\frac{\overset{\circ}{y}}{n} (n - \alpha y) = \overset{\circ}{n} (-\alpha_2 + \beta n)$$

$$\frac{\overset{\circ}{y}(n - \alpha y)}{y} = \frac{\overset{\circ}{n} (-\alpha_2 + \beta n)}{n}$$

$\int_{s=0}^t$

$$\alpha_1 \frac{\overset{\circ}{y}}{y} - \alpha \overset{\circ}{y} = -\alpha_2 \frac{\overset{\circ}{n}}{n} + \beta \overset{\circ}{n}$$

$$\alpha_1 \left(\log(y(t)) - \log(y_s) \right) - \alpha \left(y(t) - y_s \right) = -\alpha_2 \left(\log(n(t)) - \log(n_s) \right) + \beta \left(n(t) - n_s \right)$$

Mettre tout ce qui dépend de t dans le LHS...

$$\alpha_2 \log(n(t)) - \beta n(t) + \alpha_1 \ln(y(t)) - \alpha y(t) = \alpha_2 \ln(n_s) - \beta n_s + \alpha_1 \ln(y_s) - \alpha y_s$$

$$= \overset{\text{(alors)}}{\circ} I(n(t), y(t)) \quad \overset{\text{(alors)}}{=} I(n_s, y_s)$$

(Vrai: $\forall t \in (0, T) \dots$)

↳ Ce qui signifie que I est constante le long des traj, donc

$$I \stackrel{\circ}{=} (n, y) \mapsto \alpha_2 \log(n) - \beta n + \alpha_1 \log(y) - \alpha y$$

est une intégrale première.

↳ De cette information on peut ensuite déduire que les traj sont en fait périodiques...

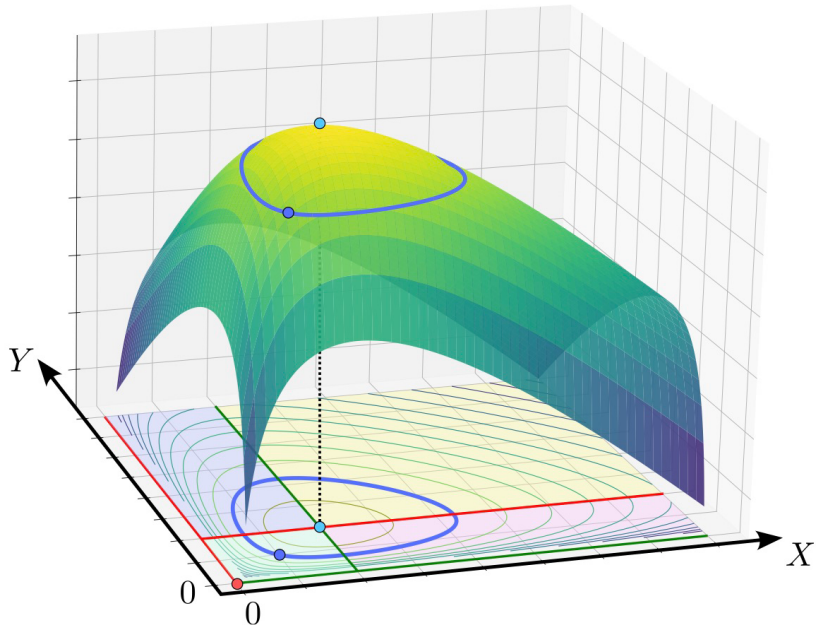
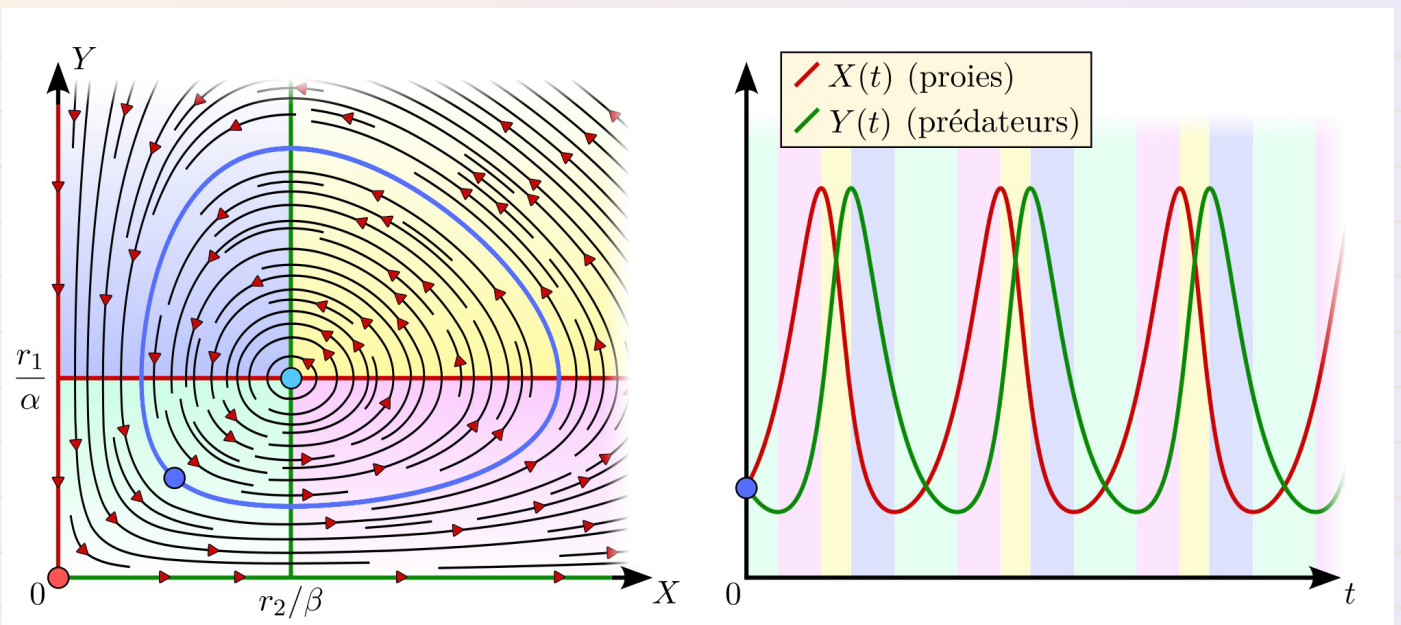


Figure XIV — Représentation 3D de l'intégrale première $I(X, Y)$ du système proie-prédateur (1.20). La surface représente la fonction $I(X, Y) = r_2 \ln(X) - \beta X + r_1 \ln(Y) - \alpha Y$ (1.25), et les courbes projetées sur le plan (X, Y) sont ses lignes de niveau, qui correspondent aux trajectoires du système dans le plan de phase. On visualise ainsi que chaque solution du système évolue sur une courbe de niveau constante de I , illustrant la conservation de cette quantité le long des trajectoires.

b) Un modèle d'arbres et de graines (2^{ème} moitié du XX^e siècle, origines pas claires...)

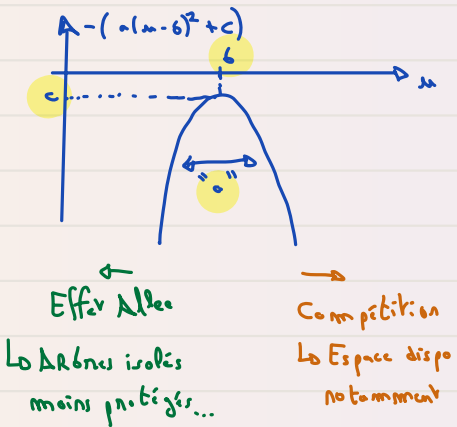
$$\left\{ \begin{array}{l} M : \text{arbres} \\ W : \text{graines} \end{array} \right.$$

$$\left\{ \begin{array}{l} M = \beta w - q(M) \quad \text{les graines donnent des arbres } (\beta: \text{taux "d'éclatement des graines"}) \\ W = -\beta w + dM \quad \text{les arbres produisent des graines} \end{array} \right.$$

les graines qui éclosent sont actives de w

ici $q(M) = M \left(\alpha(M-b)^2 + c \right)$

\approx forme comme le taux de décroissance:



↳ c : taux de mortalité de base

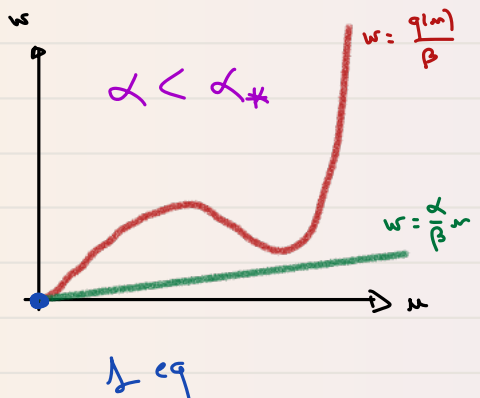
↳ b : taille de population optimale pour minimiser la décroissance

↳ α : sensibilité aux variations de tailles...

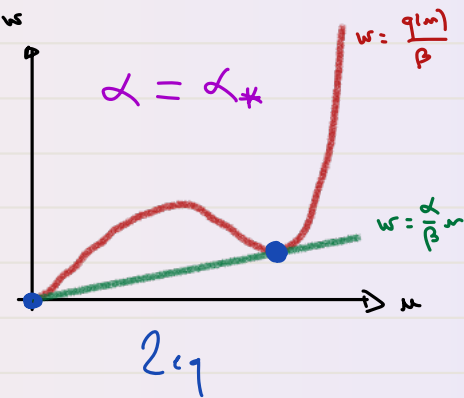
↳ Équilibres: $w = 0 \Leftrightarrow w = \frac{\alpha}{\beta} M$

$$M = 0 \Leftrightarrow w = \frac{q(M)}{\beta}$$

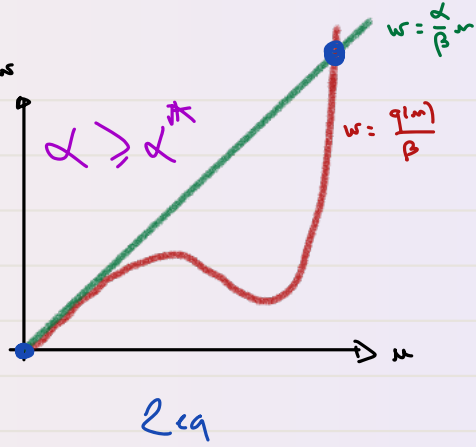
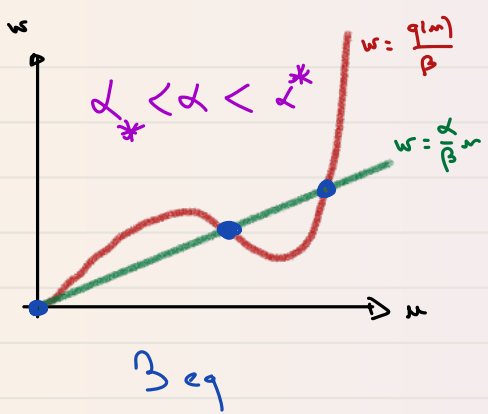
Alors, en fonction du paramètre α :



L_{eq}



L_{eq}



↳ On peut regarder s'il existe des bifurcations (i.e. des changements de stabilité des équilibres en bougeant le paramètre α ...)

↳ Question typique : que se passe-t-il si un eq stable et un eq instable fusionnent ?

↳ Plan de phase dans le cas à 3 équilibres ($\alpha_* < \alpha < \alpha^*$)

